

5264/34(11-12)
994

ISSN 0021 — 3470

143

ИЗВЕСТИЯ
ВЫСШИХ УЧЕБНЫХ
ЗАВЕДЕНИЙ

РАДИОЭЛЕКТРОНИКА



ТОМ 37

11-12

ИЗДАНИЕ
КИЕВСКОГО
ПОЛИТЕХНИЧЕСКОГО
ИНСТИТУТА

1994

ТРИФОНОВ А. П., АЛЕКСЕЕНКО С. П.

КВАЗИПРАВДОПОДОБНАЯ ОЦЕНКА ДИСПЕРСИИ СТАЦИОНАРНОГО ГАУССОВСКОГО СЛУЧАЙНОГО ПРОЦЕССА

Найдены структура и характеристики квазиправдоподобного измерителя дисперсии, адаптирующегося к помехе с неизвестной мощностью.

Задача оценки дисперсии D стационарного случайного процесса рассматривается в ряде работ [1—3 и др.]. При этом наиболее часто реализуется оценка D^* , основанная на использовании эргодических свойств процесса. Пусть $s(t)$ — стационарный гауссовский случайный процесс с математическим ожиданием a_0 и дисперсией D_0 . Тогда оценку D^* можно записать в виде [1—3]

$$D^* = \frac{1}{T} \int_0^T \tilde{s}^2(t) dt - \left[\frac{c}{T} \int_0^T \tilde{s}(t) dt \right]^2. \quad (1)$$

Здесь $[0; T]$ — интервал наблюдения, $\tilde{s}(t) = s(t) - (1 - c)a_0$, $c = 0$ если математическое ожидание процесса априори известно и $c = 1$, если математическое ожидание процесса априори неизвестно.

Несмотря на неоптимальный характер оценки (1), она в силу относительной простоты ее аппаратурной реализации часто оказывается приемлемой [1—3], если наблюдению доступна непосредственно сама реализация анализируемого случайного процесса $s(t)$. Однако во многих приложениях, особенно в радиоэлектронных системах, непосредственно сама реализация процесса $s(t)$ наблюдению недоступна. Во-первых, любая радиоэлектронная система способна обрабатывать сигналы лишь в ограниченной полосе частот. Это обстоятельство можно формально учесть, предполагая, что анализируемый процесс $s(t)$ до обработки проходит через фильтр (преселектор) с прямоугольной амплитудно-частотной характеристикой в полосе частот $[-\omega_m/2; \omega_m/2]$. Здесь ω_m — полоса пропускания радиоэлектронной системы. Во-вторых, все сигналы в радиоэлектронных системах искажены помехой. В простейшем случае это гауссовский белый шум [4]. Таким образом, при измерении дисперсии стационарного случайного процесса в радиоэлектронных системах, наблюдению оказывается доступна реализация профильтрованной входным преселектором суммы

$$x(t) = s(t) + \tilde{\nu}(t), \quad (2)$$

где $\tilde{v}(t)$ — гауссовский белый шум с односторонней спектральной плотностью γ_0 . В результате оценка дисперсии D^* опять определяется формулой (1), где теперь

$$\tilde{s}(t) = y_1(t) - (1 - c) a_0, \quad (3)$$

а $y_1(t)$ — отклик фильтра (преселектора) с передаточной функцией (ПФ)

$$|H_1(j\omega)|^2 = I(\omega / \omega_m), \quad (4)$$

на реализацию наблюдаемых данных $x(t)$ (2); $I(x) = 1$ при $|x| \leq 1/2$ и $I(x) = 0$ при $|x| > 1/2$ — индикатор единичной длительности.

Найдем характеристики оценки D^* с учетом наличия преселектора и воздействия помехи. Подставляя в (1) профильтрованную сумму (2), учитывая (3) и выполняя усреднение, получаем для смещения (систематической ошибки) и рассеяния (среднего квадрата ошибки) оценки (1) выражения

$$b(D^* | D_0) = M\{D^* - D_0\} =$$

$$= \frac{1}{\pi} \int_0^{\omega_m/2} \left[G_s(\omega) + \frac{\gamma_0}{2} \right] d\omega - \frac{c}{T} \left[G_s(0) + \frac{\gamma_0}{2} \right] - D_0, \quad (5)$$

$$V(D^* | D_0) = M\{(D^* - D_0)^2\} = b^2(D^* | D_0) + \\ + \frac{2}{T\pi} \int_0^{\omega_m/2} \left[G_s(\omega) + \frac{\gamma_0}{2} \right]^2 d\omega - \frac{c}{T^2} \left[G_s(0) + \frac{\gamma_0}{2} \right]^2. \quad (6)$$

Здесь $M\{\cdot\}$ — означает усреднение, а $G_s(\omega)$ — спектр мощности анализируемого случайного процесса $s(t)$. При выполнении усреднения в (5) и (6) предполагалось, что время наблюдения T существенно превышает время корреляции случайного процесса $s(t)$.

Представим спектр мощности анализируемого процесса в виде

$$G_s(\omega) = 2\pi D_0 g(\omega / \Omega) / \Omega. \quad (7)$$

Здесь Ω — эффективная полоса частот, определяемая формулой

$$\Omega = \int_{-\infty}^{+\infty} G_s(\omega) d\omega / \max G_s(\omega),$$

функция $g(x) = g(-x)$ описывает форму спектра мощности процесса, и нормирована так, что $\max_{-\infty}^{+\infty} g(x) = 1$, $\int_{-\infty}^{+\infty} g(x) dx = 1$. Тогда выражения (5),

(6) перепишутся как

$$b(D^* | D_0) = D_0 \left[2 \int_0^{k/2} g(x) dx + q k - 1 - \frac{c}{2\mu} (1+q) \right], \quad (8)$$

$$V(D^* | D_0) = b^2 (D^* | D_0) + \frac{D_0^2}{\mu} \left\{ 2 \int_0^{k/2} (g(x) + q)^2 dx - \frac{c}{4\mu} (1+q)^2 \right\}. \quad (9)$$

Здесь $\mu = T \Omega / 4\pi$, $k = \omega_m / \Omega$, $q = \gamma_0 \Omega / 4\pi D_0$ — отношение средней мощности помехи в эффективной полосе частот анализируемого процесса к средней мощности самого процесса.

Полагая в (8), (9) $q = 0$ и устремляя $k \rightarrow \infty$, получаем известные выражения [1—3] для смещения и рассеяния оценки дисперсии (1) в отсутствии преселектора и в пренебрежении воздействием помехи. Так при $c = 0$ (математическое ожидание процесса априори известно) имеем [1—3]

$$b_0(D^* | D_0) = 0, V_0(D^* | D_0) = 2 D_0^2 \int_0^{+\infty} g^2(x) dx / \mu. \quad (10)$$

Для того, чтобы определить проигрыш в точности оценки дисперсии из-за наличия преселектора и воздействия помехи, рассмотрим два, часто встречающихся в приложениях, конкретных примера.

1. Случайный процесс с прямоугольной формой спектра мощности. В этом случае

$$g(x) = I(x) \quad (11)$$

и при $c = 0$ формулы (8), (9), (10) принимают вид $b_1(D^* | D_0) = D_0 q k$, $V_1(D^* | D_0) = D_0^2 [q^2 k^2 + \frac{1}{\mu} (1 + 2q + q^2 k)]$, $V_{01}(D^* | D_0) = D_0^2 / \mu$.

2. Случайный процесс со спектром мощности Лоренца (экспоненциально-коррелированный случайный процесс). В этом случае

$$g(x) = [1 + (\pi x)^2]^{-1} \quad (12)$$

и при $c = 0$ формулы (8), (9), (10) принимают вид

$$b_2(D^* | D_0) = D_0 \left[\frac{2}{\pi} \operatorname{arctg} \left(\frac{k\pi}{2} \right) - 1 + q k \right],$$

$$V_2(D^* \mid D_0) = b_2^2(D^* \mid D_0) +$$

$$+ \frac{D_0^2}{\mu} \left\{ q^2 k + \frac{1}{\pi} (4q + 1) \operatorname{arctg} \left(\frac{k\pi}{2} \right) + \frac{k}{2} \left[1 + \left(\frac{k\pi}{2} \right)^2 \right]^{-1} \right\},$$

$$V_{02}(D^* \mid D_0) = D_0^2 / 2\mu.$$

Проигрыш в точности оценки дисперсии из-за наличия преселектора и воздействия помехи будем характеризовать отношением $\chi_i = V_i(D^* \mid D_0) / V_{0i}(D^* \mid D_0)$, где $i = 1$ для процесса со спектром мощности (11), и $i = 2$ — для процесса со спектром мощности (12).

На рис. 1 сплошными линиями нанесены зависимости $\chi_1(k)$ и штриховыми линиями — зависимости $\chi_2(k)$. Кривые 1 соответствуют значениям $q = 0,1$; 2 — 0,5; 3 — 1; 4 — 2. Для всех кривых $\mu = 100$. Видно что с увеличением уровня шума проигрыш в точности оценки (1) существенно возрастает.

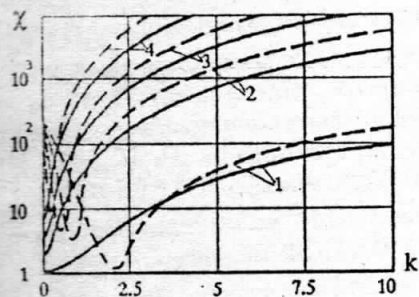


Рис. 1

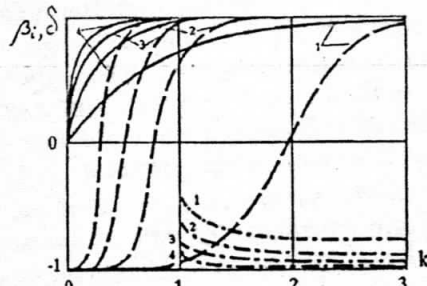


Рис. 2

На рис. 2 приведены зависимости относительного смещения $\beta_i = b_i(D^* \mid D_0) / \sqrt{V_i(D^* \mid D_0)}$ от k при тех же значениях параметров q и μ . Согласно рис. 1, 2 наличие преселектора и воздействие помехи приводят к существенному снижению точности оценки дисперсии (1).

Повысить точность оценки дисперсии в этих условиях можно было бы используя метод максимального правдоподобия [2, 5]. Однако при произвольной форме спектра мощности анализируемого процесса найти оценку максимального правдоподобия (ОМП) дисперсии в явном виде не удается [5]. Это приводит к существенной сложности аппаратурной реализации алгоритма оценки. Кроме того, часто, кроме оцениваемой дисперсии,

неизвестна также спектральная плотность γ_0 помехи. В этом случае необходимо реализовывать совместную оценку дисперсии анализируемого случайного процесса и спектральной плотности помехи.

Получить ОМП дисперсии стационарного гауссовского процесса в явном виде удается сравнительно просто при прямоугольной форме спектра мощности (11). При синтезе ОМП дисперсии будем полагать, что в общем случае могут иметь заметное значение собственные шумы элементов радиоэлектронной системы, включенных после преселектора. Тогда реализация наблюдаемых данных будет иметь вид

$$x(t) = s(t) + v(t) + n(t), \quad (13)$$

где $n(t)$ — гауссовский белый шум с односторонней спектральной плотностью N_0 .

Положим вначале, что кроме дисперсии D_0 и спектральной плотности помехи γ_0 , неизвестно также математическое ожидание анализируемого процесса a_0 . Для определения структуры измерителя дисперсии, адаптирующегося к помехе с неизвестной спектральной плотностью, введем в рассмотрение три вспомогательные гипотезы H_i , $i = 0, 1, 2$. Гипотеза H_2 предполагает, что реализация наблюдаемых данных имеет вид (13). Гипотеза H_1 предполагает, что анализируемый случайный процесс отсутствует, так что наблюдается реализация $x(t) = v(t) + n(t)$. Наконец, гипотеза H_0 предполагает, что наблюдается только белый шум и $x(t) = n(t)$. Обозначим $F_2(D, a, \gamma)$ — логарифм функционала отношения правдоподобия (ФОП) для гипотезы H_2 при альтернативе H_0 и $F_1(\gamma)$ — логарифм ФОП для гипотезы H_1 при альтернативе H_0 . Тогда ОМП D дисперсии при наличии помехи с неизвестной спектральной плотностью γ_0 можно записать в виде

$$\hat{D} = \arg \sup L(D), \quad (14)$$

$$L(D) = \sup_{a, \gamma} F_2(D, a, \gamma) - \sup_{\gamma} F_1(\gamma). \quad (15)$$

Введение вспомогательных гипотез H_i , $i = 0, 1, 2$ позволяет избежать существенных математических трудностей при получении логарифма ФОП. В результате, полагая $\mu \gg 1$ и используя [2, 5], имеем

$$F_2(D, a, \gamma) =$$

$$= \frac{1}{N_0} \int_0^T \left[\frac{N_0 y_2^2(t)}{(N_0 + \gamma + d)(N_0 + \gamma)} + \frac{\gamma}{\gamma + N_0} y_1^2(t) - \frac{2 a x(t)}{N_0 + \gamma + d} \right] dt -$$

$$-\frac{2 a_0^2 T}{N_0 + \gamma + d} - \mu \left[\ln \left(1 + \frac{\gamma + d}{N_0} \right) + (k-1) \ln \left(1 + \frac{\gamma}{N_0} \right) \right], \quad (16)$$

$$F_1(\gamma) = F_2(0, 0, \gamma), \quad (17)$$

где $y_2(t)$ — отклик фильтра с передаточной функцией (ПФ) $|H_2(j\omega)|^2 = I(\omega / \Omega)$ на реализацию наблюдаемых данных (13), $d = 4\pi D / \Omega$. Подставляя (16), (17) в (14), (15), находим ОМП дисперсии

$$\hat{D} = \frac{1}{T(k-1)} \left[k \int_0^T y_2^2(t) dt - \int_0^T y_1^2(t) dt \right] - \left[\frac{1}{T} \int_0^T y_1(t) dt \right]^2, \quad (18)$$

структурой которой инвариантна к спектральным плотностям помехи γ_0 и белого шума N_0 .

В частном случае, когда априори известно математическое ожидание a_0 анализируемого процесса, целесообразно обрабатывать центрированную реализацию наблюдаемых данных (13)

$$\tilde{x}(t) = x(t) - a_0. \quad (19)$$

В этом случае ОМП дисперсии опять определяется формулой (14), куда следует подставить

$$L(D) = \sup_{\gamma} F_2(D, 0, \gamma) - \sup_{\gamma} F_1(\gamma), \quad (20)$$

где $F_2(D, 0, \gamma)$, $F_1(\gamma)$ имеют вид (16), (17) при замене реализации $x(t)$ (13) на ее центрированное значение (19). Подставляя (20) в (14), для ОМП дисперсии получаем выражение

$$\hat{D} = \frac{1}{T(k-1)} \left[k \int_0^T \tilde{y}_2^2(t) dt - \int_0^T \tilde{y}_1^2(t) dt \right], \quad (21)$$

где $\tilde{y}_i(t)$ — отклики фильтров с передаточными функциями $H_i(j\omega)$ ($i = 1, 2$) на центрированную реализацию наблюдаемых данных (19).

Объединяя (18) и (21), ОМП дисперсии можем представить в виде, аналогичном (1)

$$\hat{D} = \frac{1}{T(k-1)} \left[k \int_0^T y_2^2(t) dt - \int_0^T y_1^2(t) dt \right] - \left[\frac{c}{T} \int_0^T y_1(t) dt \right]^2, \quad (22)$$

где $y_1(t)$ — отклики соответствующих фильтров на $\tilde{x}(t) = x(t) - (1 - c) a_0$.

Структурная схема измерителя дисперсии приведена на рис. 3, где H_i — фильтры с ПФ $H_i(j\omega)$. Такой измеритель вырабатывает ОМП дисперсии процесса с прямоугольной формой спектра мощности. Если же форма спектра мощности анализируемого процесса отличается от прямоугольной, то измеритель вырабатывает квазиправдоподобную оценку (КПО) дисперсии [6]. Действительно, КПО переходит в ОМП по мере приближения формы спектра мощности анализируемого процесса к прямоугольной. Следует отметить, что измеритель (22) синтезирован при условии, что полоса пропускания преселектора больше эффективной полосы частот сигнала ($k > 1$).

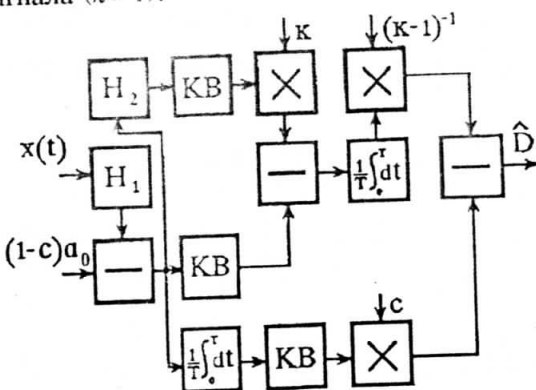


Рис. 3

Найдем характеристики оценки (22), рассматривая ее как квазиправдоподобную. Для этого подставим в (22) реализацию наблюдаемых данных (13) и положим, что спектр мощности анализируемого процесса (7) имеет произвольную форму, описываемую функцией $g(\cdot)$. Выполняя затем усреднение, получаем для смещения и рассеяния КПО дисперсии выражения

$$b(\hat{D} \mid D_0) = \frac{D_0}{k-1} \left\{ k \left[2 \int_0^{1/2} g(x) dx - 1 \right] - 2 \int_0^{k/2} g(x) dx + 1 - \frac{c(k-1)}{2\mu} (1+q+qN) \right\}, \quad (23)$$

$$V(\hat{D} \mid D_0) = b^2 (\hat{D} \mid D_0) + \frac{2 D_0^2}{\mu (k-1)^2} \left\{ k (k-2) \int_0^{1/2} [q + q_N + g(x)]^2 dx + \right.$$

$$+ \int_0^{k/2} [q + q_N + g(x)]^2 dx - \frac{c(k-1)^2}{8\mu} (1+q+q_N)^2 \}. \quad (24)$$

здесь $q_N = N_0 \Omega / 4\pi D_0$ — отношение средней мощности белого шума в эффективной полосе частот анализируемого процесса к средней мощности процесса.

Конкретизируем общие выражения (23), (24) для случайных процессов, форма спектра мощности которых описывается функциями (11) и (12). При оценке дисперсии процесса с прямоугольной формой спектра мощности (11) получаем, полагая $c = 0$, $b_1(\hat{D} | D_0) = 0$,

$$V_1(\hat{D} | D_0) = D_0^2 [(1+q+q_N)^2(k-1) + (q+q_N)^2] / \mu(k-1).$$

соответственно, для процесса со спектром мощности Лоренца (12) имеем, полагая $c = 0$,

$$b_2(\hat{D} | D_0) = D_0 \left\{ \frac{2}{\pi(k-1)} \left[k \operatorname{arctg} \frac{\pi}{2} - \operatorname{arctg} \frac{\pi k}{2} \right] - 1 \right\},$$

$$\begin{aligned} V_2(\hat{D} | D_0) &= b_2^2(\hat{D} | D_0) + \frac{D_0^2}{\mu(k-1)^2} \left\{ k(k-1)(q+q_N)^2 + \right. \\ &+ \frac{1}{\pi} [k(k-2) \operatorname{arctg} \frac{\pi}{2} + \operatorname{arctg} \frac{\pi k}{2}] [4(q+q_N) + 1] + \\ &\left. + \frac{k}{2} \left(\frac{k-2}{1+\pi^2/4} + \frac{1}{1+k^2\pi^2/4} \right) \right\}. \end{aligned}$$

Сравним точность оценок дисперсии (1) и (22). При этом будем считать, что математическое ожидание анализируемого процесса априори известно ($c = 0$) и белый шум $n(t)$ в наблюдаемой реализации (13) существует, т. е. $q_N = 0$. Действительно, при наличии белого шума в реализации наблюдаемых данных (13) алгоритм оценки (1) не применим, так как интегралы в этом выражении тогда не существуют ни в каком вероятностном смысле [4].

Выигрыш в точности КПО (22) по сравнению с оценкой (1) будем характеризовать отношениями

$$\kappa_i = V_i(D^* | D_0) / V_i(\hat{D} | D_0),$$

где $i = 1$ для процесса со спектром мощности (11) и $i = 2$ для процесса со спектром мощности (12).

На рис. 4 сплошными линиями нанесены зависимости $\kappa_1(k)$ и штриховыми линиями — зависимости $\kappa_2(k)$. Кривые 1 соответствуют значениям $q = 0,1$; 2 — $q = 0,5$; 3 — $q = 1$; 4 — $q = 2$. Для всех кривых $\mu = 100$. Кроме того, на рис. 2 для сравнения нанесена штрихпунктирными линиями зависимость относительного смещения $\delta = b_2(\hat{D} \mid D_0) / \sqrt{V_2(\hat{D} \mid D_0)}$ КПО дисперсии от k при тех же значениях μ и q .

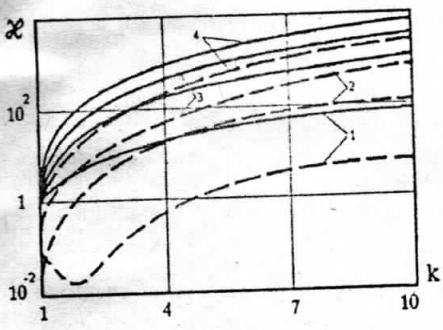


Рис. 4

Как видно из рис. 4, измеритель (22) обеспечивает существенный выигрыш в точности при оценке дисперсии процесса со спектром мощности (11) по сравнению с (1) даже при малых значениях q для всех $k > 1$. При оценке дисперсии процесса со спектром мощности (12) измеритель (22) обеспечивает выигрыш в точности оценки для всех $k > 1$, если $q > 1$. При меньших значениях q точность оценки (1) может быть выше, если k близко к единице.

Как следует из формул (8), (9), (23), (24), кривые рис. 1, 2, 4 верны и при априори неизвестном математическом ожидании, если $q^2 / \mu \ll 1$.

Таким образом, полученные результаты позволяют сделать обоснованный выбор между оценками (1) и (22) в зависимости от имеющейся априорной информации об анализируемом процессе, а также в зависимости от требований, предъявляемых к точности оценок и к степени простоты аппаратурной реализации измерителя.

БИБЛИОГРАФИЧЕСКИЙ СПИСОК

1. Мирский Г. Я. Аппаратурное определение характеристик случайных процессов.— М.: Энергия, 1972.— 456 с.
2. Куликов Е. И. Методы измерения случайных процессов.— М.: Радио и связь, 1986.— 272 с.
3. Виленкин С. Я. Статистическая обработка результатов исследования случайных функций.— М.: Энергия, 1979.— 320 с.
4. Тихонов В. И. Статистическая радиотехника.— М.: Радио и связь, 1982.— 624 с.
5. Куликов Е. И., Трифонов А. П. Оценка параметров сигналов на фоне помех.— М.: Сов. радио, 1978.— 296 с.
6. Мудров В. И., Кущко В. Л. Методы обработки измерений.— М.: Радио и связь, 1983.— 304 с.

Воронежский государственный университет.

Поступила в редакцию 02.02.94